

09  
© 1992 г.

## ВНУТРЕННИЕ МАГНИТОСТАТИЧЕСКИЕ ВОЛНЫ В СТРУКТУРЕ С ДВУМЯ АНИЗОТРОПНЫМИ ФЕРРИТОВЫМИ СЛОЯМИ

*Ю. А. Филимонов, И. В. Шеин*

В безобменном и магнитостатическом приближениях исследован спектр поверхностных магнитостатических волн (ПМСВ) в структуре из двух различных кубически анизотропных ферритовых слоев. Анизотропия приводит к появлению в спектре областей объемных магнитостатических волн (ОМСВ), частотные диапазоны существования которых могут перекрываться с областями частот, отвечающих ПМСВ. В области вырождения законов дисперсии ПМСВ и ОМСВ взаимодействие приводит к гибридизации волн и расталкиванию дисперсионных кривых. Для структур со скачком намагниченности ( $\Delta M = M_0 - M_2$ ) условия существования внутренних ПМСВ на границе между слоями определяются соотношением величин скачка намагниченности и поля анизотропии  $H_1^a = H_2^a = H^a$ . Внутренние ПМСВ на границе ферритов с различными полями анизотропии ( $H_1^a \neq H_2^a$ ) существуют для достаточно больших величин скачка поля анизотропии  $\Delta H^a = H_1^a - H_2^a$ .

1. Известно [1, 2], что граница между двумя ферритовыми слоями может являться областью локализации особого типа поверхностных магнитостатических волн (ПМСВ) — внутренних ПМСВ. Условия существования и спектр внутренних волн существенно определяются скачком параметров на границе слоев и подробно изучены для структур, составленных из изотропных ферритовых слоев, различающихся намагниченностью насыщения  $4\pi M_0$  [1—5]. Между тем пленки железо-иттриевого граната (ЖИГ), являющиеся в настоящее время основным элементом многослойных структур [6, 7], обладают магнитной анизотропией, и ее влияние на распространение ПМСВ в двухслойной структуре было обнаружено в работе [7] в виде сдвига частоты ПМСВ. В пленках ЖИГ анизотропия приводит не только к сдвигу частотного диапазона существования МСВ, но и к качественной перестройке спектра: в спектре волн с волновым вектором  $q$ , перпендикулярным касательному полю  $H_0$ , кроме области ПМСВ типа Дэймона—Эшбаха [8] появляется область объемных магнитостатических волн (ОМСВ) [9]. В двухслойных структурах в дополнение к сказанному может возникнуть взаимодействие анизотропных ОМСВ с ПМСВ, которое будет особенно эффективным в местах вырождения (пересечения) законов дисперсии волн. По аналогии со случаями феррита с обменным [10] или магнитоупругим [11] взаимодействием в данном случае можно ожидать гибридизации волн и расталкивания дисперсионных кривых в области вырождения, а в структуре из полубесконечных ферритовых слоев — затухание ПМСВ за счет излучения ОМСВ, бегущих от границы в глубь феррита. Не исключено также, что учет полей анизотропии  $H^a$  приведет в ряде случаев, как это, например, имеет место в акустике [12], к отсутствию внутренних ПМСВ в структуре.

В данной работе рассматриваются ПМСВ в структуре из двух кубически анизотропных ферритовых слоев с учетом их возможного вырождения с ОМСВ. Конкретно рассмотрены два типа структур: структуры со скачком намагниченности, составленные из пленок, отличающихся лишь намагниченностью насыщения ( $4\pi M_{0_1} \neq 4\pi M_{0_2}$ ,  $H_1^a = H_2^a$ ), и со скачком анизотропии ( $4\pi M_{0_1} = 4\pi M_{0_2}$ ,  $H_1^a \neq H_2^a$ ). Отметим, что ранее на возможность вырождения ПМСВ и ОМСВ указывалось в работах [3, 13], где, однако, спектр МСВ в области вырождения не исследовался и

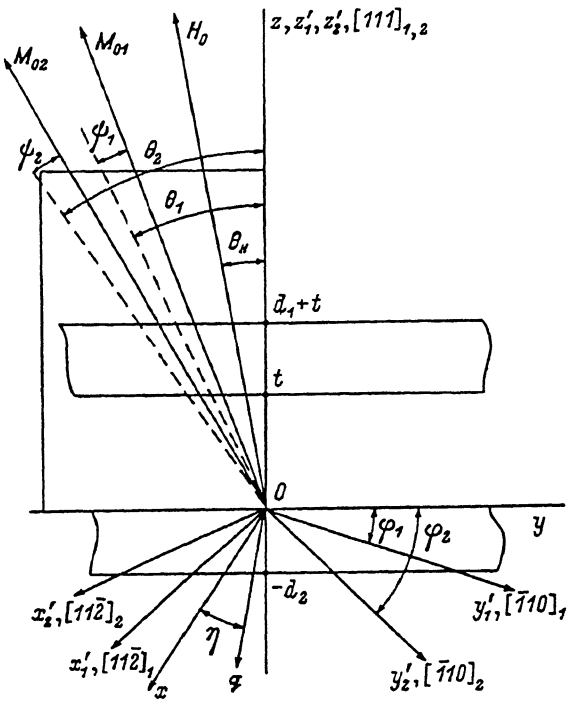


Рис. 1. Геометрия задачи.

Штриховые линии — проекции  $M_{0\sigma}$  на плоскость намагничивания.

ожидаемого расталкивания дисперсионных кривых ПМСВ и ОМСВ получено не было. Отметим также, что работа [13], по-видимому, единственная, где изучалось влияние анизотропии на спектр ПМСВ двухслойной структуры. При этом дисперсионное уравнение было получено для случая, когда равновесные намагнченности  $M_0$  совпадают по направлению с касательным полем  $H_0$ . Существенно, что анализ дисперсионного уравнения был проведен в [13] для пленок, различающихся лишь ориентацией их эквивалентных кристаллографических осей по отношению к  $H_0$ , на границе терпящих скачок только поля анизотропии  $H_1^a \neq H_2^a$ . Однако возможность существования внутренних ПМСВ в такой структуре авторами [13] не обсуждалась.

2. Рассмотрим структуру, составленную из двух пленок кубически анизотропного феррита ориентации (111), разделенных диэлектрическим зазором  $t$  (рис. 1). Пленки, характеризуемые толщинами  $d_\sigma$ , намагнченностями насыщения  $4\pi M_0$  и полями кубической анизотропии ( $H^a = K1/M_0$ ) $_\sigma$ , где  $K1$  — первая константа кубической анизотропии, расположены параллельно плоскости  $x0y$  в системе координат  $(x, y, z)$  с осью  $0z$ , нормальной к поверхности пленок. Здесь и далее  $\sigma = 1, 2$ , где индексы 1, 2 относятся к первой и второй пленкам соответственно. Внешнее поле  $H_0$  ориентировано в плоскости  $y0z$  (плоскость намагничивания) под углом  $\theta_H$  к нормали структуры  $n$ . Кристаллографическую ориентацию пленок определяют системы координат  $(x, y, z)_\sigma$ , в качестве которых для пленок ориентации (111) удобно выбрать оси  $[112]_\sigma$ ,  $[110]_\sigma$ ,  $[111]_\sigma$ , переходящие в систему координат  $(x, y, z)$  поворотом вокруг оси  $0z$  на угол  $\varphi_\sigma$ . Волновой вектор МСВ  $q$  составляет угол  $\eta$  с осью  $0x$ .

Расчет спектра МСВ в косонамагнченной структуре из анизотропных пленок в качестве первого этапа включает в себя определение направления

равновесной намагнченности  $M_{0_\sigma}$ , которое по аналогии с [6, 14] характеризуем углами  $\psi_\sigma$ , описывающим выход  $M_{0_\sigma}$  из плоскости намагничивания, и  $\theta_\sigma$  между проекцией  $M_{0_\sigma}$  на плоскость  $y0z$  и нормалью  $n$ . Порядок расчета углов  $\psi_\sigma$  и  $\theta_\sigma$  приведен в [14]. Здесь лишь отметим, что для таких полей  $H_0$ , при которых вклад  $H^a$  в эффективное поле феррита оказывается малым, так что выполнено условие (13) работы [14], выходом  $M_{0_\sigma}$  из плоскости  $y0z$  можно пренебречь, взяв  $\psi_\sigma = 0$ , а углы  $\theta_\sigma$  рассчитать из уравнений

$$\left\{ \frac{K1}{M_0} \left[ \frac{\sin 2\theta}{2} \left( 1 - \frac{7}{3} \cos^2 \theta \right) + \frac{\sqrt{2}}{3} \sin 3\varphi \cdot \sin^2 \theta \left( 1 - 4 \cos^2 \theta \right) \right] + H_0 \sin(\theta - \theta_n) - 2\pi M_0 \sin 2\theta \right\}_\sigma = 0, \quad (1)$$

которые при  $\theta_n = 90^\circ$ ,  $|H^a| \ll H_0 + 4\pi M_0$  имеют вид

$$\left\{ \theta = \frac{\pi}{2} - \frac{\sqrt{2}}{3} \frac{K1}{M_0} \frac{\sin 3\varphi}{H_0 + 4\pi M_0 - K1/M_0} \right\}_\sigma. \quad (1')$$

Далее, используя найденные значения углов и формулы (9), (10) работы [14], рассчитываем тензор магнитной проницаемости  $\mu$  каждого из слоев в системе координат  $(x, y, z)$ . Решение уравнения Уокера для магнитостатического потенциала  $\Psi^m$  ищем в виде

$$\Psi^m = \exp i [ q(x \cdot c + y \cdot s) - \omega \cdot t ] \cdot \exp(\alpha z), \quad (2)$$

где  $c = \cos \eta$ ,  $s = \sin \eta$ ,  $\alpha$  характеризует распределение потенциала по толщине структуры и в ферритовых слоях имеет вид

$$\alpha_\sigma = iq \cdot k_\sigma \pm q\beta_\sigma, \quad (3)$$

где

$$k_\sigma = \left( \frac{\mu_{23}^{\text{Re}} \cdot s + \mu_{13}^{\text{Re}} \cdot c}{\mu_{33}} \right)_\sigma, \quad \beta_\sigma^2 = -k_\sigma^2 + \left( \frac{\mu_{11} \cdot c^2 + \mu_{22} \cdot s^2 + 2\mu_{12}^{\text{Re}} s \cdot c}{\mu_{33}} \right)_\sigma,$$

индексы 1, 2, 3 соответствуют  $x, y, z$ , а все остальные обозначения совпадают с [14].

Как видно из (3), при  $k_\sigma \neq 0, \beta_\sigma^2 > 0$  потенциал вида (2) отвечает обобщенным поверхностным волнам [15] в слое феррита. Выражение  $\beta_\sigma^2$  можно записать в виде

$$\beta_\sigma^2 = \left[ \frac{(\Omega_1^2 - \omega^2)(\Omega_2^2 - \omega^2)}{(\Omega_0^2 - \omega^2)^2} \right]_\sigma,$$

откуда видно, что условие  $\beta_\sigma^2 > 0$  выполнено вне частотного интервала  $(\Omega_1, \Omega_2)_\sigma$ . Частоты  $\Omega_{1_\sigma}$  и  $\Omega_{2_\sigma}$  являются точками ветвления  $\alpha_\sigma$  и отвечают смене характера МСВ с чисто объемных (в области  $\Omega_{1_\sigma} < \omega < \Omega_{2_\sigma}$ ) на обобщенные поверхностные. Точка  $\Omega_0 \sigma$  удовлетворяет условию  $\mu_{33}(\Omega_0)_\sigma = 0$  и при  $\Omega_{1,2} \neq \Omega_0$  является полюсом функции  $\alpha_\sigma$ . Как известно [9, 14], частота  $\Omega_0$  является длинноволновой ( $q \rightarrow 0$ ) границей в спектре МСВ, а частоты  $\Omega_1$  и  $\Omega_2$  отвечают коротковолновым границам ( $q \rightarrow \infty$ ) спектров обратных объемных (ООМСВ) и прямых объемных (ПОМСВ) магнитостатических волн в изолированных слоях.

Для случая, когда волновой вектор  $\mathbf{q}$  перпендикулярен плоскости намагничивания ( $\eta = 0^\circ$ ), выражения для частот ( $\Omega_{0,1,2}$ ) <sub>$\sigma$</sub>  имеют вид

$$(\Omega_1^2)_{\sigma} = \left[ W + \frac{\omega_m}{2}(V - N) \right]_{\sigma}, \quad (4)$$

$$(\Omega_2^2)_{\sigma} = \left[ W + \frac{\omega_m}{2}(V + N) \right]_{\sigma}, \quad (5)$$

$$(\Omega_0^2)_{\sigma} = \left[ W + \omega_m(V - L_x \cos^2 \psi) \right]_{\sigma}, \quad (6)$$

где  $W_{\sigma} = (L_x L_y - Z^2)_{\sigma}$ ,  $N_{\sigma}^2 = [V^2 - 4W \cdot \cos^2 \psi \cdot \sin^2 \theta]_{\sigma}$ ,  $Z_{\sigma} = (y M_0 \cdot N_1^a \cdot 2')_{\sigma}$ ,  $V_{\sigma} = [L_x(1 - \sin^2 \psi \cdot \sin^2 \theta) + L_y \sin^2 \theta - Z \sin \psi \cdot \sin 2\theta]_{\sigma}$ ,  $\omega_{m_{\sigma}} = \gamma 4\pi M_0$ , а все остальные обозначения совпадают с используемыми в [14].

В пренебрежении эффектом выхода  $M_0$  из плоскости намагничивания и для случая  $\theta_h = 90^\circ$ ,  $|K1/M_0| \ll H_0$ ,  $4\pi M_0$ , когда  $\theta \approx \theta_h$ ,  $L_x = \omega_h + \omega_a$ ,  $L_y = \omega_h$ ,  $z = \sqrt{2} \cdot \omega_a \cos(3\varphi)$ ,  $\omega_a = -\gamma K1/M_0$  полоса частот, которую занимают анизотропные ООМСВ, ПОМСВ и полный спектр ОМСВ, могут быть рассчитаны соответственно с помощью выражений

$$(\Omega_0 - \Omega_1)_{\sigma} = \left\{ \frac{\omega_m \omega_a}{4\Omega_0} \left[ 1 - (\text{sgn } \omega_a) \sqrt{1 + 8 \cos^2 3\varphi} \right] \right\}_{\sigma}, \quad (7)$$

$$(\Omega_2 - \Omega_0)_{\sigma} = \left\{ \frac{\omega_m \omega_a}{4\Omega_0} \left[ 1 + (\text{sgn } \omega_a) \sqrt{1 + 8 \cos^2 3\varphi} \right] \right\}_{\sigma}, \quad (8)$$

$$(\Omega_2 - \Omega_1)_{\sigma} = \left[ \frac{\omega_m \omega_a}{2\Omega_0} \sqrt{1 + 8 \cos^2 3\varphi} \right]_{\sigma}, \quad (9)$$

где

$$\Omega_0^2 = \omega_h^2 + \omega_h \omega_m + \omega_h \omega_a - 2\omega_a^2 \cos^2 3\varphi. \quad (6')$$

Из (9) легко видеть, что область анизотропных ОМСВ наиболее широка при  $\varphi = \pi \cdot n/3$ , а наименее широко при  $\varphi = \pi(2n+1)/6$ , где  $n = 0, 1, \dots$ . При  $H_0 = 500$  Э и значениях параметров  $4\pi M_0 = 1750$  Гс,  $H^a = -43$  Э, отвечающих ЖИГ, для полосы частот, занимаемой ОМСВ, при  $\varphi = 60^\circ$  из (9) получаем значение  $\approx 298$  МГц, тогда как численный расчет дает величину  $\approx 291$  МГц. Из (7), (8) следует, что спектр ОМСВ при углах  $\varphi = \pi(2n+1)/6$  состоит либо из ПОМСВ ( $\omega_a > 0$ ), либо из ООМСВ ( $\omega_a < 0$ ). Отметим, что значения частоты длинноволновой границы  $\Omega_0$  достигают наибольших значений при  $\varphi = \pi(2n+1)/6$ , а наименьших — при  $\varphi = \pi n/3$ . Причем в случае  $\omega_h > \omega_a > 0$  оказываются всегда больше (для  $\omega_a < 0$  меньше) частоты  $\Omega_0$  для изотропной ( $\omega_a = 0$ ) пленки.

Обычная процедура подстановки решений (2) в граничные условия задачи приводит к дисперсионному уравнению для ПМСВ в произвольно намагниченной структуре с двумя анизотропными пленками

$$D_1 \cdot D_2 - \delta_1 \cdot \delta_2 e^{-2qt} = 0, \quad (10)$$

где  $D_{\sigma} = \left[ 1 - J^2 + \beta^2 \mu_{33}^2 + 2\mu_{33}\beta \operatorname{cth} \beta qd \right]_{\sigma}$ ,  $J_{\sigma} = \left( \mu_{31}^{\text{Im}} \cdot c + \mu_{32}^{\text{Im}} \cdot s \right)_{\sigma}$ ,  $\delta_{\sigma} = [1 \pm J_{\sigma}]^2 - (\beta^2 \mu_{33}^2)_{\sigma}$ , знаки + и - относятся к  $\sigma = 1, 2$  соответственно.

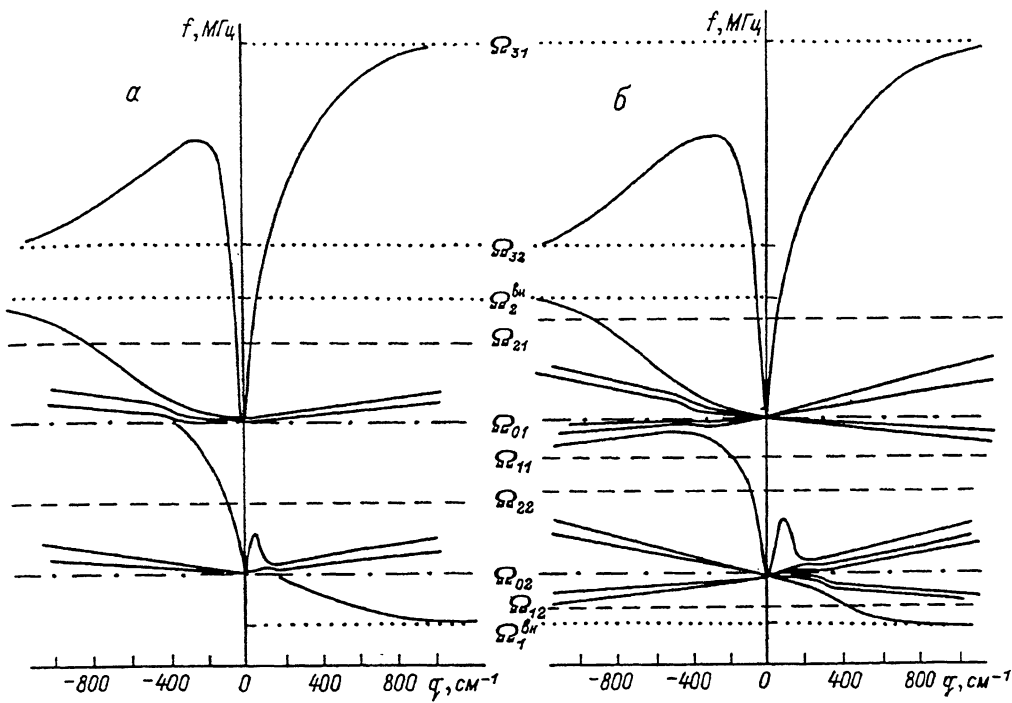


Рис.2. Спектры МСВ в структуре с кубически анизотропными слоями.

Штриховые и пунктирные линии — положение коротковолновых ( $q \rightarrow \infty$ ) границ спектров ОМСВ и ПМСВ соответственно, штрихпунктир — длинноволновые ( $q \rightarrow 0$ ) границы спектров. Структура со скажком намагниченности: а —  $\Omega_{31} = 4480$ ,  $\Omega_{32} = 3985$ ,  $\Omega_2^{BH} = 3883$ ,  $\Omega_{21} = 3787$ ,  $\Omega_{01} = 3697$ ,  $\Omega_{22} = 3505$ ,  $\Omega_{02} = 3432$ ,  $\Omega_1^{BH} = 3365$ ; б —  $\Omega_{31} = 4472$ ,  $\Omega_{32} = 3982$ ,  $\Omega_2^{BH} = 3888$ ,  $\Omega_{21} = 3858$ ,  $\Omega_{01} = 3695$ ,  $\Omega_{11} = 3607$ ,  $\Omega_{22} = 3565$ ,  $\Omega_{02} = 3429$ ,  $\Omega_{12} = 3348$ ,  $\Omega_1^{BH} = 3329$ .

При  $t \rightarrow \infty$  уравнение (10) распадается на уравнения  $D_\sigma = 0$ , описывающие спектры МСВ в изолированных анизотропных пленках. В спектре таких пленок помимо анизотропных ОМСВ, частотные диапазоны которых определяются (4) — (9), присутствуют ПМСВ. Такие волны занимают диапазон  $(\Omega_{max}, \Omega_3)$ , где  $\Omega_{max} = \max(\Omega_1, \Omega_0, \Omega_2)$ , а  $\Omega_3$  частота отвечает ПМСВ с  $q \rightarrow \infty$ , и в касательно намагниченной пленки при условии  $\psi = 0, \theta = \theta_h$  определяется выражением

$$\Omega_3 = \frac{1}{2} \left[ \frac{L_y}{\cos \eta} + (\omega_m + L_x) \cos \eta \right], \quad (11)$$

где значение угла  $\eta$  не превосходит угла отсечки  $\eta_{ot}$  ПМСВ, который при дополнительном условии  $4L_y \omega_a^2 \ll L_x \omega_m^2$  равен

$$\eta_{ot} = \arccos \sqrt{\frac{L_x}{\omega_m + L_y}}. \quad (12)$$

В косонамагниченной пленке ( $\theta \neq \pi/2$ ) для случая  $\eta = 0$  частота  $\Omega_3$  может быть записана в виде

$$\Omega_3 = \frac{1}{2} \left[ \frac{L_x + L_y \sin^2 \theta}{\sin \theta \cos \psi} + \omega_m \sin \theta \cdot \cos \psi \right]. \quad (13)$$

Входящие в (13) значения угла  $\theta$  могут быть рассчитаны с помощью (1) и лежат в интервале  $\pi/2 > \theta > \theta_{\text{от}}$ , где  $\theta_{\text{от}}$  — угол отсечки ПМСВ, определяемый правой частью выражения (12), в котором, конечно, нужно выражения  $L_x$  и  $L_y$  взять отвечающими косому намагничиванию.

При конечном значении  $t$  уравнение (10) описывает волны в связанных анизотропных пленках. В работе [6] обсуждался спектр объемных МСВ в рассматриваемой структуре, распространяющихся вдоль проекции поля  $H_0$  на плоскость пленок ( $\eta = 90^\circ$ ). Поэтому здесь основное внимание будет уделено случаю  $\eta = 0$ , когда возможно распространение ПМСВ.

3. Рассмотрим спектр ПМСВ в структуре со скачком намагниченности  $\Delta M = M_{0_1} - M_{0_2} > 0$ ,  $H_1^a = H_2^a = H^a$ . Для определенности будем считать, что поля анизотропии в пленках отвечают случаю ЖИГ  $H^a = -43$  Э, толщины пленок  $d_\sigma = 30$  мкм, а остальные параметры структуры выберем отвечающими случаю, рассмотренному в работе [5],  $t = 0$ ,  $\eta = 0$ ,  $H_0 = 700$  Э,  $4\pi M_{0_1} = 1750$  Гц,  $4\pi M_{0_2} = 1400$  Гц.

На рис. 2 представлены результаты численного решения (10) для двух значений углов  $\varphi_\sigma$ , характеризующих кристаллографическую ориентацию пленки:  $\varphi_\sigma = 30^\circ$  (а) и  $60^\circ$  (б). Прежде всего отметим, что в спектре появились две граничные частоты  $\Omega_{1,2}^{\text{BH}}$ , соответствующие коротковолновым границам ПМСВ, распространяющимся вдоль границы слоев. Для расчета граничных частот уравнение (10) удобно преобразовать к виду

$$(\beta\mu_{33} - \mu_{31}^{\text{Im}} \cdot c - \mu_{32}^{\text{Im}} \cdot s)_1 + (\beta\mu_{33} + \mu_{31}^{\text{Im}} \cdot c + \mu_{32}^{\text{Im}} \cdot s)_2 = 0. \quad (10')$$

В геометрии ПМСВ Дэймона—Эшбаха  $\theta_H = 90^\circ$ ,  $\eta = 0$  ( $s = 0$ ) для структуры с не очень большими скачком намагниченности и полями анизотропии

$$\frac{\Delta\omega_m}{4} \ll \omega_\sigma, \omega_H; \omega_{a_\sigma}, \Delta\omega_a \ll \omega_{m_\sigma}, \omega_H, \quad (14)$$

при которых могут выполняться условия

$$z^2, \omega_m \omega_a \ll |\Omega_0^2 - \omega^2|_\sigma,$$

$$|L_x L_y - L_x L_{y_1}| \ll |L_x L_y - \omega^2|_\sigma, \quad (15)$$

решение уравнения (10') имеет вид

$$\Omega_{1,2}^{\text{BH}} = \pm \left( \frac{\Delta\omega_m - \Delta\omega_a}{4} \right) + \\ + \sqrt{\left( \frac{\Delta\omega_m - \Delta\omega_a}{4} \right)^2 + \frac{\Omega_{0_1}^2 + \Omega_{0_2}^2}{2} + \frac{\omega_{m_1} \omega_{a_1} + \omega_{m_2} \omega_{a_2}}{4}}, \quad (16)$$

где  $\Omega_0^2$  определяется (6'),  $\Delta\omega_m = \gamma 4\pi \Delta M$ ,  $\Delta\omega_a = \gamma \Delta H^a$ , знаки + и - относятся к  $\Omega_2^{\text{BH}}$  и  $\Omega_1^{\text{BH}}$  соответственно.

Для структуры со скачком намагниченности ( $\Delta\omega_m = 0$ ,  $\Delta\omega_a = 0$ ) при выбранных значениях параметров значения  $\Omega^{\text{BH}}$ , рассчитанные из (16), составляют  $\Omega_1^{\text{BH}} = 3.366$  ГГц,  $\Omega_2^{\text{BH}} = 3.856$  ГГц и отличаются менее чем на 5 МГц от значений  $\Omega^{\text{BH}}$ , полученных численным решением (10). Легко убедиться, что при  $\omega_a = 0$  уравнение (16) переходит в соответствующие формулы работы [5].

В данном случае в соответствии с результатами работы [5] полный спектр

МСВ состоит из областей ОМСВ, занимающих частотные диапазоны, определяемые формулами (4)–(9), и областей ПМСВ, коротковолновые границы которых определяются формулами (11), (16). При этом все граничные частоты в спектре смещены относительно изотропного случая [5] вверх по оси частот на величину  $\approx 40$  МГц, что, как отмечалось выше, обусловлено выбором знака константы анизотропии  $K_1 < 0$  — случай пленок “легкая плоскость”. Кроме того, в анизотропной структуре диапазон частот существование внутренних ПМСВ сужается: волны носят поверхностный характер лишь вне диапазонов ОМСВ, а вид спектра зависит от ориентации пленок во внешнем поле, что видно из сравнения рис. 2, а и б.

Рассмотрим подробнее области частот  $(\Omega_1 - \Omega_2)_\sigma$ , где ПМСВ оказываются вырожденными с ОМСВ. При  $\varphi_\sigma = 30^\circ$  в спектре присутствуют только ПОМСВ, с которыми вырождены внутренняя ПМСВ, распространяющаяся в прямом направлении ( $q > 0$ ), и внешняя ПМСВ в обратном направлении ( $q < 0$ ). Взаимодействие волн в областях их фазового синхронизма, отвечающего местам пересечения дисперсионных кривых без учета связи волн, приводит к расталкиванию дисперсионных кривых. При этом МСВ приобретает гибридный характер — поверхностная в одном слое и объемная в другом. Вблизи частотных границ  $(\Omega_0)_\sigma$  дисперсионные кривые терпят разрывы, обусловленный многомодовостью ПОМСВ. Напротив, вблизи верхней частотной границы спектра ПОМСВ  $(\Omega_2)_\sigma$  дисперсионные кривые, отвечающие модам ПОМСВ с номерами  $m = 0, 1$ , при некотором значении волнового числа  $q$  плавно переходят в дисперсионные кривые ПМСВ.

При значениях  $\varphi_\sigma = 60^\circ$  в спектре дополнительно возникают области ООМСВ, занимающие частотные диапазоны  $(\Omega_1 - \Omega_0)_\sigma$ . В этом случае взаимодействие внутренней ПМСВ с  $q > 0$  и ООМСВ приводит вблизи частотной границы  $(\Omega_1)_2$  к плавной трансформации ПМСВ в моду ООМСВ с  $m = 0$ . Моды ООМСВ с номерами  $m \neq 0$  в области взаимодействия с внутренней ПМСВ трансформируются в моды ООМСВ номера  $m - 1$ . Внешняя ПМСВ в обратном направлении при взаимодействии с модами ООМСВ в диапазоне частот  $(\Omega_1 - \Omega_0)_1$  приводит к расталкиванию дисперсионных кривых и трансформации ПМСВ в нулевую моду ООМСВ. При этом моды ООМСВ с номерами  $m \neq 0$  в области взаимодействия с ПМСВ плавно переходят в моды номера  $m + 1$ . Отметим, что часть спектра ОМСВ, невозмущенная ветвями спектра, отвечающими ПМСВ, практически совпадает со спектром изолированных слоев.

Если в структуре со скачком намагниченности увеличивать поля анизотропии в слоях, то это приведет к расширению областей ОМСВ и сужению диапазонов частот, отвечающих ПМСВ. В случае, показанном на рис. 2, б, при значении  $H^a < H_{kp}^a = -110$  Э в спектр ООМСВ расширяется настолько, что “поглощает” предельные частоты  $\Omega^{bh}$  и внутренние волны перестают существовать — в спектре нет граничных частот  $\Omega^{bh}$ . В случае, показанном на рис. 2, а, исчезновение внутренних ПМСВ происходит при  $H^a < H_{kp}^a = -300$  Э. Показать, что граничные частоты в структуре со скачком намагниченности существуют лишь при достаточно малых величинах  $H^a$ , можно с помощью (4)–(9) и (16), проанализировав характер изменения граничных частот  $(\Omega_{0,1,2})_\sigma$  и  $\Omega^{bh}_1$  в зависимости от  $H^a$ . Действительно, из сравнения (16) и (6'), (7)–(9) видно, что при увеличении полей анизотропии частоты  $\Omega_{1,2}^{bh}$  растут быстрее, чем частоты  $(\Omega_{0,1})_\sigma$ , но медленнее, чем  $(\Omega_2)_\sigma$ . Поэтому при определенных полях  $H^a$  частоты внутренних ПМСВ неизбежно окажутся в спектре ОМСВ и при полях  $H^a < H_{kp}^a$  ( $|H^a| > |H_{kp}^a|$ ) внутренние ПМСВ в структуре существовать не смогут. Исходя из сказанного и используя выражения (16), (4)–(9), можно оценить порядок полей  $H_{kp}^a$

$$H_{kp}^a \approx -4\pi\Delta M \cdot (\sqrt{\rho(\rho+1)} - \rho), \quad (17)$$

где  $\rho = H_0/4\pi M_0$ .

При выбранных значениях параметров из (17) получим  $H_{kp}^a = -130$  Э, что хорошо согласуется со значениями, полученными численно.

Изменение параметров  $t$ ,  $\eta$  и  $\theta_n$  влечет значительные перестройки спектра, полное описание которых выходит за рамки данной работы. Отметим только, что трансформация спектра внутренних ПМСВ при изменении параметров  $t$  и  $\eta$  происходит аналогично тому, как описано в работах [3, 10], а выражение для угла отсечки  $\eta_{ot}$  внутренних ПМСВ в рассматриваемом случае имеет вид

$$\eta_{ot} = \arccos \sqrt{\frac{L_y}{L_x + \Delta \omega_m}}. \quad (18)$$

При уменьшении угла  $\theta_n$  (переход к нормальному намагничиванию) происходит расширение частотного диапазона ПОМСВ, а частотные диапазоны ООМСВ и ПМСВ сужаются и при определенных значениях  $\theta_n$  исчезают совсем. В диапазоне частот, отвечающем рис. 2, a, исчезновение внутренних ПМСВ происходит при  $H_0 = 1500$  Э и  $\theta_n = 27^\circ$  и в спектре остаются лишь ПОМСВ и внешние ПМСВ.

4. Рассмотрим условия появления внутренних ПМСВ в структуре со скачком поля анизотропии  $\Delta H^a \neq 0$ ,  $\Delta M = 0$ . Пусть параметры равны  $\theta_n = 90^\circ$ ,  $\eta = 0$ ,  $t = 0$ ,  $\varphi_\sigma = 30^\circ$ ,  $4\pi M_{0,\sigma} = 1750$  Гс,  $H_0 = 500$  Э,  $H_2^a = -43$  Э,  $H_1^a = H_2^a - \Delta H^a$ , где  $\Delta H^a > 0$ . При этом будем рассматривать решения (10) в зависимости от параметра  $\Delta H^a$  и учтем, что для выбранных параметров  $H_1^a < H_2^a < 0$  граничные частоты  $\Omega_{0,1,2}$  первой пленки будут больше соответствующих граничных частот второй пленки.

Будем далее считать величину скачка анизотропии малой в смысле, определяемом условием (14) и обратимся к уравнению (16), где теперь нужно взять  $\Delta \omega_m = 0$ . Сравнение (16) и (6') показывает, что в структуре со скачком поля анизотропии и при полях  $H^a < 0$  оказываются выполнеными условия  $\Omega_2^{bh} > \Omega_{0,2}$ ,  $\Omega_1^{bh} > \Omega_{0,1}$ . Следовательно, внутренние ПМСВ в такой структуре могут возникнуть, если будет выполнено хотя бы одно из неравенств

$$\Omega_2^{bh} > \Omega_{2_2}, \quad (19)$$

$$\Omega_1^{bh} > \Omega_{2_1}, \quad (20)$$

где  $(\Omega_2)_\sigma$  — коротковолновые границы спектров ПОМСВ в пленках, определяемые (5) или (6'), (8).

Непосредственной подстановкой выражений (16), (6'), (8) в неравенства (19), (20) можно убедиться, что при значениях  $\Delta H^a > \Delta H_{kp}^a$ , где  $\Delta H_{kp}^a$  определяется выражением

$$\Delta H_{kp}^a \cong |H^a| \frac{1}{\rho + 0.5 - \sqrt{\rho(\rho + 1)}}, \quad (21)$$

оказывается выполненным неравенство (19), тогда как условие (20) не выполняется. Таким образом, при  $\Delta H^a > \Delta H_{kp}^a$  в спектре будет присутствовать лишь одна ветвь внутренних ПМСВ — низкочастотная, отвечающая распространению волн в прямом направлении. При выбранных величинах параметров необходимое пороговое значение скачка анизотропии, рассчитанное из (21), составит  $\Delta H_{kp}^a = 240$  Э,  $H_1^a = -283$  Э.

Численный анализ дисперсионного уравнения (10) при выбранных значениях параметров показал, что внутренние ПМСВ в структуре появляются при значениях  $\Delta H^a \cong 300$  Э, которые согласуются с условием (21). На рис. 3, a показан спектр МСВ в структуре при  $H_1^a = -343$  Э. Как видно, имеется качественное соответствие

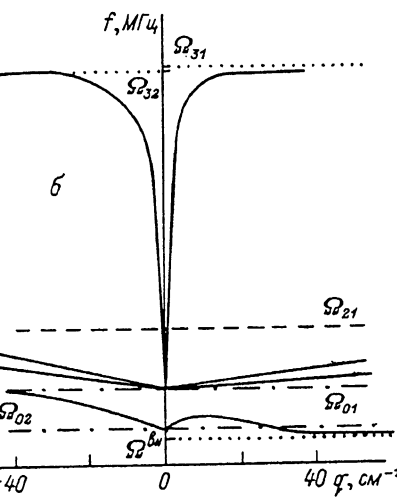
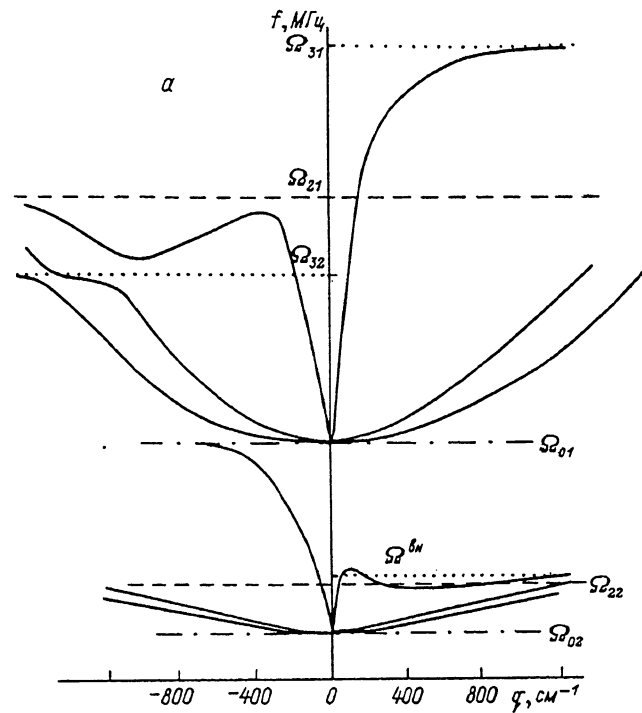


Рис. 3. То же, что и на рис. 2.

Структура со скачком анизотропии при  $\varphi_\sigma = 30^\circ$ : *a* —  $\Omega_{31} = 4368$ ,  $\Omega_{21} = 4114$ ,  $\Omega_{31} = 3915$ ,  $\Omega_{01} = 3513$ ,  
 $\Omega_{02}^{\text{BH}} = 3138$ ,  $\Omega_{22} = 3102$ ,  $\Omega_{02} = 3005$ ; *б* —  $\Omega_{31} = 3851$ ,  $\Omega_{32} = 3850$ ,  $\Omega_{21} = 2973$ ,  $\Omega_{01} = 2970.5$ ,  
 $\Omega_{02} = 2970.1$ ,  $\Omega_{02}^{\text{BH}} = 2969.8$ .

с приведенными выше рассуждениями: существует лишь одна низкочастотная ветвь внутренних ПМСВ с  $q > 0$ , получающаяся трансформацией основной ( $m = 0$ ) моды ПОМСВ. При этом законы дисперсии высших мод ПОМСВ ( $m > 0$ ) слабо "возмущены" присутствием внутренней ПМСВ и практически совпадают с дисперсией изолированного слоя.

В отличие от внутренней ПМСВ попадание коротковолновой границы внешней ПМСВ с  $q < 0$  в спектр ПОМСВ первой пленки ( $\Omega_{0_1} < \Omega_{3_2} < \Omega_{2_1}$ ) не приводит к запрету на ее существование, хотя существенно меняет дисперсию волн в областях их вырождения. Как видно из сравнения рис. 2, а и рис. 3, а, расталкивание спектров ПОМСВ и внешней ПМСВ, а также характер трансформации мод ПОМСВ в области расталкивания в структурах со скачком намагниченности и анизотропии аналогичны. Рост параметра  $\Delta H^a$  до значений  $\Delta H^a = 800$  Э приводит к расширению диапазона частот, занимаемого внутренней ПМСВ, но не приводит к появлению второй ветви внутренних ПМСВ.

Необходимо подчеркнуть, что при  $\varphi_\sigma = 60^\circ$ , когда ширина спектра ОМСВ максимальна, а область частот, занимая ПОМСВ, примерно вдвое больше, чем при  $\varphi_\sigma = 30^\circ$ , внутренние ПМСВ в структуре со скачком анизотропии не появлялись вплоть до значений скачка  $\Delta H^a = H_0$ , при которых частота  $\Omega_{1_1}$  становится равной 0.

Отметим, что, согласно условию (21), в структуре, где одна из пленок изотропна, например  $H_2^a = 0$ , сколько угодно малая величина скачка анизотропии будет приводить к появлению внутренних ПМСВ. На рис. 3, б показан спектр в структуре с  $H_2^a = 0$ ,  $H_1^a = -1$  Э, а остальные параметры взяты отвечающими рис. 3, а. Из сравнения рис. 3, а, б видно их качественное соответствие.

5. Таким образом, спектр внутренних ПМСВ в структуре с двумя кубическими анизотропными ферритовыми слоями характеризуется следующими особенностями: 1) существуют интервалы частот, отвечающие обусловленным анизотропией объемным МСВ, в которых спектры ПМСВ и ОМСВ оказываются вырожденными; в областях вырождения волны принимают гибридный характер — поверхностные в одном слое и объемные в другом, а спектры волн расталкиваются; 2) условия существования внутренних ПМСВ определяются соотношением скачка одного из параметров структуры (в работе рассмотрены случаи скачка намагниченности, когда  $\Delta M \neq 0$ ,  $\Delta H^a = 0$ , и скачка поля анизотропии, когда  $\Delta M = 0$ ,  $\Delta H^a \neq 0$ ) и наименьшего из полей анизотропии.

#### Список литературы

- [1] Wolfram T. // J. Appl. Phys. 1970. Vol. 41. P. 4748—4749.
- [2] Camley R. E., Maradudin A. A. // Sol. St. Commun. 1982. Vol. 41. N 8. P. 585—588.
- [3] Ващковский А. В., Стальмахов А. В. // РЭ. 1984. Т. 29. № 12. С. 2409—2411.
- [4] Зубков В. И., Локк Э. Г., Нам Б. П. и др. // ЖТФ. 1989. Т. 59. Вып. 12. С. 115—117.
- [5] Зубков В. И., Еланечников В. А. // Письма в ЖТФ. 1985. Т. 23. Вып. 11. С. 1419—1423.
- [6] Высоцкий С. Л., Казаков Г. Т., Филимонов Ю. А., Шеин И. В., Хе А. С. // РЭ. 1990. Т. 35. N 5. С. 959—965.
- [7] Березин И. Л., Ващковский А. В., Вороненко А. В. и др. // ЖТФ. 1988. Т. 58. Вып. 6. С. 1233—1234.
- [8] Damon R.W., Eshbach J. R. // J. Phys. Chem. Sol. 1961. Vol. 19. N 3/4. P. 308—320.
- [9] Берегов А.С., Кудинов Е. В. // Электронная техника Сер. 1. Электроника СВЧ. 1986. № 6 (390). С 41—47. Там же. 1987. № 6(400). С. 8—12.
- [10] Глинский И. А. // ФММ. 1983. Т. 55. № 3. С. 455—458.
- [11] Гуляев Ю. В., Зильберман П. Е. // Изв. вузов. Физика. 1988. Т. 11. С. 6—23.
- [12] Djafari-Rouhani B., Dobrzynski L. // Surf. Sci. 1976. Vol. 61. P. 521.
- [13] Ganguly A. K., Uittoria C. // J. Appl. Phys. 1974. Vol. 45. N 10. P. 4665—4667.
- [14] Дудко Г. М., Казаков Г. Н., Сухарев А. Г. и др. // РЭ. 1990. Т. 35. № 5. С. 966—976.
- [15] Вайнштейн Л. А. Электромагнитные волны. М.: Радио и связь, 1988. 440 с.